

Οργάνωση αφιερώματος και επιμέλεια κειμένων:
Ιωάννης Πετρόπουλος

Τεύχος 80 Ιούλιος - Αύγουστος - Σεπτέμβριος 2001

Εκδότης - Διευθυντής

Άννα Λαμπράκη
Αναγνωστόπουλος 5

Συντάκτικη Επιτροπή

Γεωργίη Βελισσορούπουλου
Αντρέας Ιωαννίδης
Άννα Λαμπράκη

Επιμέλεια Ύλης

Κατερίνα Τσεκούρα

Καλλιτεχνική Επιμέλεια

Μεριάννα Στραπατσάκη

Επιμέλεια-Διαφήμιση

Δημήτρης Αυγερίδης

Διόρθωση κειμένων:

Χ. Τσεκούρα, Ρ. Τσινάρη

Αγγλική απόδοση σερικήψεων: Θέσπη Ξανθάκη

ΤΡΙΜΗΝΙΑΙΟ ΠΕΡΙΟΔΙΚΟ

Γραφείο Συντάξεως & Αρχείο: Πλατεία Κορύτη 10,
102 37 ΑΘΗΝΑ, Τηλ: 3253246 & 3219957 Fax: 3219957.
Δικτυοκοστέοπος: <http://www.arxeiologia.gr>
E-mail: tsekoura@arxeiologia.gr

Ιδιοκτησία: ΑΘΗΝΑΪΚΑ ΝΕΑ Α.Ε. - ΙΔΡΥΜΑ
ΜΕΛΕΤΩΝ ΛΑΜΠΡΑΚΗ - Copyright ARΧΑΙΟΛΟΓΙΑ

Εποπτική επιτροπή

H. Ahnweiler, Καθηγητής Πλανητοστημάτων Paris I,
Ομότιμος Πρύτανης.

N. Γιακούρης, τ. Γενικός Σπουδαρχητής Αρχαιοτήτων.

A. Di Vita, Διευθυντής της Ιταλικής Αρχαιολογικής Σχολής Αθηνών.

H. Immerwahr, τ. Διευθυντής της Αμερικανικής Σχολής Κλασικών Σπουδών Αθηνών.

H. Kyrieleis, τ. Διευθυντής του Γερμανικού Αρχαιολογικού Ινστιτούτου Αθηνών.

G. Λάρβας, Καθηγητής Ιστορίας της Τέχνης και Πολιτισμώς Κυριαρχομένας Πλανητοστημάτου Αθηνών.

Xr. Μπουρός, Ομ. Καθηγητής Προϊστορικής Αρχαιολογίας Πλανητοστημάτου Αθηνών.

O. Picard, τ. Διευθυντής της Γαλλικής Αρχαιολογικής Σχολής Αθηνών.

S. Φιλιππάκης, τ. Υπεύθυνος των Προγραμμάτων Αρχαιομετρίας του Ε.Κ.Ε.Φ.Ε. «Δημόκριτος».

Εκτύπωση Offset: LINORA Ε.Π.Ε.

Διαχωρισμοί - Ενθέσεις: TEXT & COLOR

Συνδρομή ΑΡΧΑΙΟΛΟΓΙΑ, Χρ. Λαδά 3,
102 37 ΑΘΗΝΑ, Τηλ. 3686478

E-mail: syndromi@dolnet.gr

• Τα κείμενα πρέπει να είναι γραμμένα σε Η.Υ. (διεκπετή
ή διακτυλεγραφημένα), και να μην διπλοποιούν τις
3.000 λέξεις. Είτε δημοσιευούνται είτε όχι, τα κείμενα
δεν επιστρέφονται.

• Οι συγγραφείς των άρθρων είναι υπεύθυνοι για τις
απόψεις τους, καθώς και για την αρθρότητα των
στοιχείων και πληροφοριών που παραβεβούν στο
άρθρο τους.

• Η σύνταξη διεπραιτά τα δικαίωμα να επιφέρει φραστικές
καταβολές στα δημοσιευμένα κείμενα.

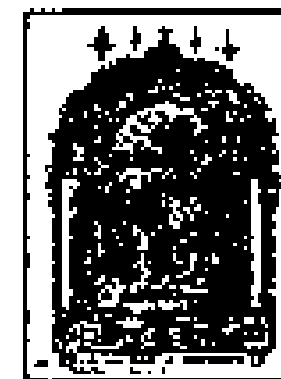
• Απειγρευεται η αντδημοσιευση κειμένων, ή μέρους
αυτών, χωρίς την άδεια του εκδότη.



Ανθρωποι στην αρχαιότητα (Συλλογή Ford, Βιρτζίνια,
Γενική Διεύθυνση Αρχαιοτήτων).
Ψηφιδωτός τρούλος του Αγ. Μάρκου της Βενετίας,
(13ος αι.), αφιερωμένος στο άνεμο του Φαράω.

6 Το όνειρο στη νεότερη Ελλάδα

Ιωάννης Πετρόπουλος



8 Οι ονειρευόμενοι: Τα γεγονότα του 1930 στην Κόρωνο

Charles Stewart



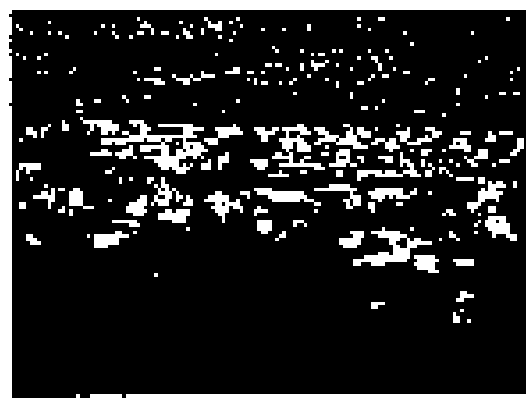
15 Όνειρο και εθνογραφία στη Μάνη

Κ.-Νόντα Σερεμετάκη



21 Η λειτουργία του χρόνου στα όνειρα της λογοτεχνίας: Βιζυηνός και Παπαδιαμάντης

Μιχάλης Χρυσανθοπούλος



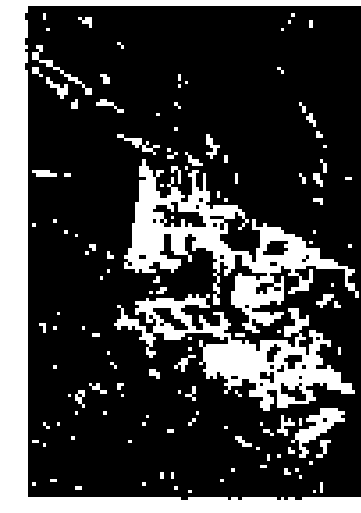
29 Διαβατήρια όνειρα στην ελληνική μεταναστευτική εμπειρία

Βασιλική Χρυσανθοπούλου



40 Αναζητώντας τα τείχη του Ιλίου (Ubi Troia fuit...)

Βασιγγέλης Πανταζής



46 Ο χώρος των νεκρών στη σημερινή πόλη

Ιωσήφ Στεφάνου, Ιουλία Στεφάνου



53 Η συμβολή των νέων τεχνολογιών στην αξιοποίηση των πηγών της ιστορίας και της τέχνης

Αναστασία Δ. Βακαλούδη



Η Οντοτελεύτηση του Γ. Χαλεπά (Εθνική Πινακοθήκη).

ΠΕΡΙΕΧΟΜΕΝΑ

- 59 **Η Στοά της Αρτέμιδος στη Βραυρώνα**

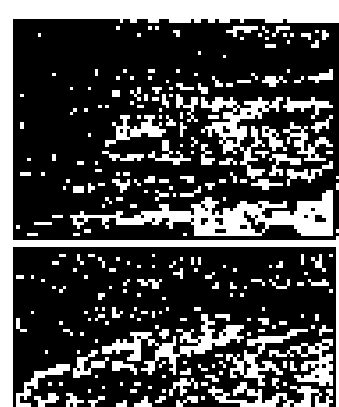
Βασιλείος Λαζαρόπουλος, Μορία Κάτου, Αλεξανδρος Σαπουντζάκης



- 67 **Όψεις και αναγνώσεις της Νεολιθικής εποχής: η περίπτωση του Αιγαίου**
Λίστα Καφίρετλη

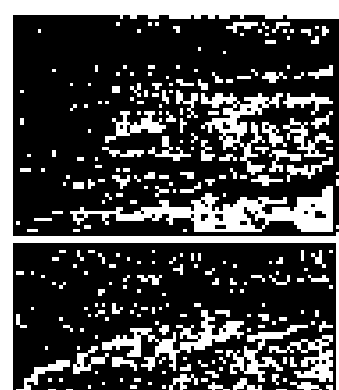
- 72 **Μια βραχογραφία πλοίου στο λιμάνι της Μύρινας**

Χριστίνα Μαραγκού

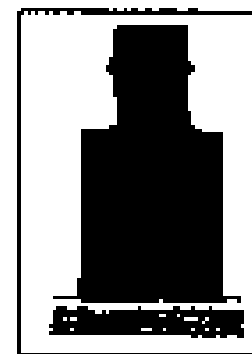
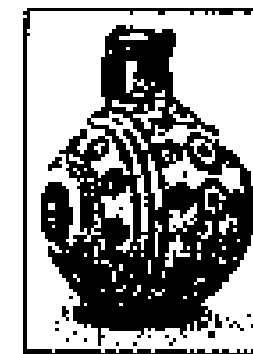
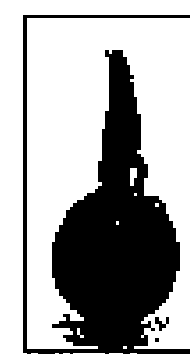


- 75 **Ο πέτρινος κόσμος της Ίδης**

Μάνος Μικελάκης



- 81 **Οι Ετρούσκοι**
Αρροδίτη Οικονομίδου,
Mario Torelli



- 87 **Το Μουσείο Πιερίδη - Αρχαίας Κυπριακής Τέχνης**
Συκρίτη Αντωνιάδου

- 91 **Μνήμη, γλυπτική του Γιώργου Νικολαΐδη**
Ανδρέας Ιωαννίδης



- 93 **Αρχαιολογικά**

- 108 **Πληροφορική**
Κατερίνα Χαρατζοπούλου

- 111 **Αρχαιομετρικά Νέα**
Γιώννης Μπασιάκος

- 113 **Μυθικά τέρατα των παραμυθιών**
Μαρίζα Ντεκάστρο

ΣΤΟΔΙΟ ΤΗΣ ΑΡΓΕΙΩΝ ΟΣ ΣΤΗ ΒΡΑΥΡΩΝΑ ΜΟΡΦΕΣ ΔΙΑΒΡΟΣΗΣ ΚΑΙ ΓΡΟΥΔΑΣΕΙΣ ΠΡΟΣΤΑΣΙΑΣ

Βασίλειος Λαμπρόπουλος

Δρ Χημικός-Μηχανικός Ε.Μ.Π., Καθηγητής Εφαρμογών, ΤΕΙ Αθήνας

Μαρία Κάτου

Συντηρήτρια Αρχαιοτήτων και Έργων Τέχνης, ΤΕΙ Αθήνας

Αλέξανδρος Σαπουντζάκης

Συντηρητής Αρχαιοτήτων και Έργων Τέχνης, ΤΕΙ Αθηνας

Ο αρχαιολογικός χώρος της Βραυρώνος, που βρίσκεται στην ανατολική Αττική, εκτείνεται στους βόρειους πρόποδες χαμηλού πετρώδους λόφου, που ονομάζεται "Κομμένο Λιθάρι". Στη βόρεια πλευρά περνά ο ποταμός Ερασίνος, ο οποίος εκβάλλει μερικά μέτρα ανατολικότερα, στον μικρό, κλειστό όρμο της Βραυρώνος, στον νότιο Ευβοϊκό. Ο όρμος αυτός είναι ρηχός και τελματώδης σήμερα, στην αρχαιότητα όμως ήταν ένα αξιόλογο υπήνεμο λιμάνι. Ο εσώτατος μυχός του κόλπου, που δεν είναι ορατός από το ιερό, απέχει μόνο 700 μ. από αυτό¹.

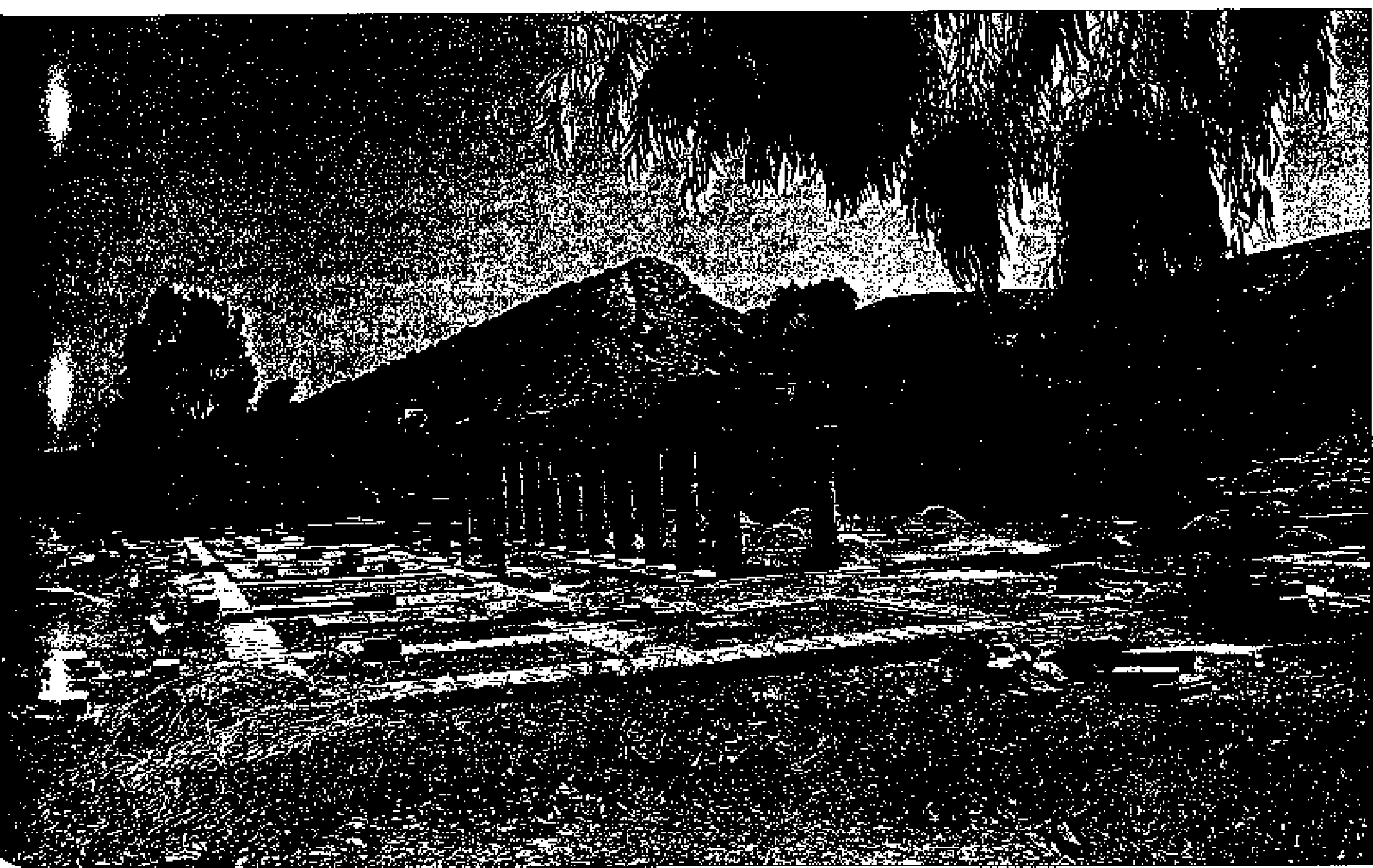
Ιστορικά στοιχεία της περιοχής²

Hη περιοχή πρωτοκατοικήθηκε από Πελασγούς στο τέλος της Νεολιθικής εποχής (3500 π.Χ.). Κατά την Μεσοελλαδική εποχή (2000-1600 π.Χ.) δημιουργήθηκε η ακρόπολη

της Βραυρώνος. Μετά την Μυκηναϊκή εποχή (1600-1100 π.Χ.) ο συνοικισμός εγκαταλείφθηκε μέχρι τον 9ο π.Χ. αιώνα³.

Από τη Μικρά Ασία φαίνεται ότι έγινε η μεταφορά της λατρείας της Αρτέμιδος, κατά τα 'Υστερα Πρωτογεωμετρικά χρόνια, όταν άρχισε

1. Η δυτική όψη της Στοάς της Βραυρώνος.



να επαναχρησιμοποιούνται ο χώρος.

Η Βραυρών αποτέλεσε μία από τις δώδεκα προϊστορικές πόλεις στις οποίες είχε ενώσει την Αττική ο Κέκρωφ, σύμφωνα με τον Παυσανία⁴. Ενώ ο Θουκυδίδης αναφέρει ότι ήταν μία από τις δώδεκα πόλεις του συνοικισμού του Θησέα, οι οποίες συναποτέλεσαν την Αθήνα⁵. Τον 6ο π.Χ. αιώνα ιδρύθηκε από τον Πεισίστρατο το ιερό της Αρτέμιδος. Μετά τη μεταρρύθμιση του Κλεισθένους, η Βραυρών και οι γύρω περιοχές αποτέλεσαν το Δήμο των Φιλαΐδων. Ο χώρος βρέθηκε στην κορύφωση της ακμής του το δεύτερο μισό του 5ου π.Χ. αιώνα και σχεδόν καθ' όλη τη διάρκεια του 4ου. Στο τέλος του 4ου αι. π.Χ. το ιερό καταστράφηκε λόγω καθίζησης και εισροής των υδάτων του ποταμού στο χώρο.

Τον 6ο μ.Χ. αι. χτίστηκε πόλαιοχριστιανική βασιλική για τον εξαγνισμό του χώρου.

Ανασκαφές στην περιοχή έγιναν σε μικρή κλίμακα κατά τα τέλη του 19ου αι. και πιο αυστηματικές και εκτεταμένες από τον Ι. Παπαδημητρίου κατά τις περιόδους 1948-1950 και 1955-1962. Οι ανασκαφές αυτές, όμως, διακόπηκαν με το θάνατό του, και δεν έχουν ολοκληρωθεί.

Η Στοά της Βραυρώνος (εικ. 1), που σύμφωνα με τα μορφολογικά της χαρακτηριστικά και επιγραφές χρονολογείται στα τέλη του 5ου π.Χ. αι.⁶, είναι στωικό οικοδόμημα σχήματος Π⁷. Η βόρεια κινοοστοιχία έχει 11 δωμάτια κίονες και μήκος 29,19 μ., ενώ η δυτική και η ανατολική από έναν, των οποίων η ανοικοδόμηση δεν έχει ολοκληρωθεί ποτέ.

Η Στοά (εικ. 2) περιλαμβάνει:

- Έξι τετράγωνα όμοια δωμάτια στο βόρειο σκέλος και τρία στο δυτικό με είσοδο στη Στοά, εντός των οποίων υπήρχαν έντεκα ξύλινες κλίνες και επτά μαρμάρινες τράπεζες (1).
- Έναν στενό διάδρομο που χωρίζει τα δωμάτια συμμετρικά σε δύο ομάδες (2).
- Ένα έβδομο μικρότερο δωμάτιο στο δυτικότερο σημείο του βόρειου σκέλους της Στοάς (3).
- Ευρύ υπαίθριο διάδρομο, παράλληλο προς το βόρειο σκέλος της στοάς (4), με πρόπυλα στα άκρα του (5).
- Βόρεια στοά με 12 κίονες, πιθανώς οκταγωνικούς (6).

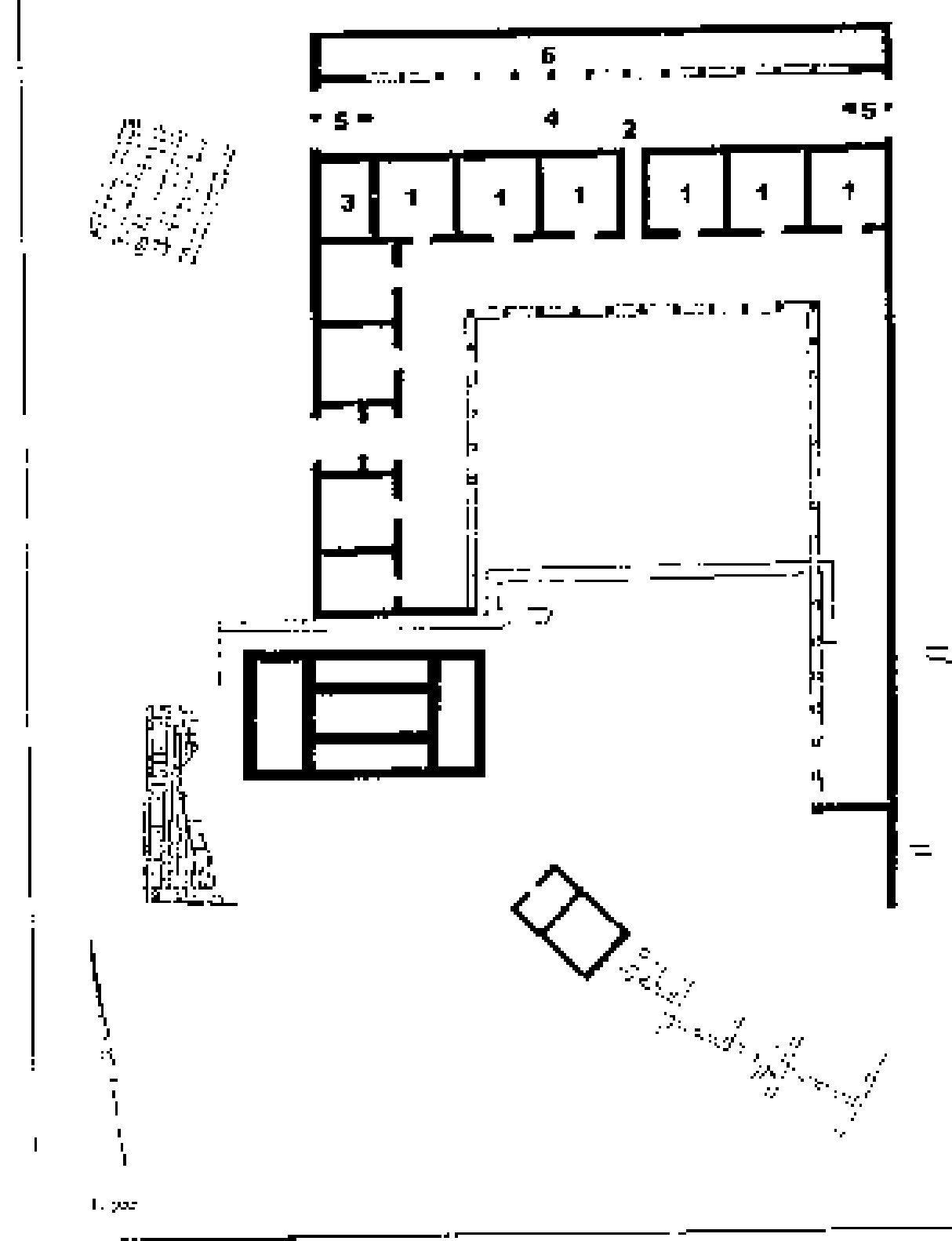
Μέσα στη Στοά υπήρχαν αναθηματικά αγάλματα "άρκτων" (γεαρά κορίτσια που υπηρετούσαν τη θεά) και σγοριών, ανάγλυφα, καθώς και επιγραφές, από τα οποία σήμερα σώζονται *in situ* μόνο τα βάθρα.

Υλικό δομής και τεχνολογία κατασκευής⁸

Για την κατασκευή της Στοάς χρησιμοποιήθηκαν κυρίως τρία υλικά: φαμμίτης, μάρμαρο και ασβεστόλιθος.

Εντόπιος φαμμίτης, χρώματος ανοικτού καστανερύθρου, χονδρόκοκκος, σκληρότητας περίπου 2 Mohs, χρησιμοποιήθηκε στη θεμελίωση, τους κίονες, το επιστύλιο, τα τρίγλυφα, το γείσο στα δωμάτια και την παραστάδα.

Μάρμαρο, λευκό πεντελικό, λεπτόκοκκο, με πορώδες 0,35-0,7% και σκληρότητα 3 Mohs⁹, χρησιμοποιήθηκε στα σημεία όπου απαιτούνταν



μεγαλύτερη αντοχή, όπως στο στυλοβάτη, αλλά και στα αρχιτεκτονικά μέλη όπου η κατεργασία ήταν λεπτότερη, όπως στα κιονόκρανα και τις μετόπες.

Ο ασβεστόλιθος είναι γκρίζου χρώματος και σκληρότητας περίπου 5.5 Mohs.

Οι σύνδεσμοι και οι γόμφοι ήταν κατασκευασμένοι από μολυβδοχοημένο σίδηρο. Για τα εξαρτήματα των θυρών και τα στηρίγματα των κλινών χρησιμοποιήθηκε ορείχαλκος.

Λεπτό επίχρισμα (stucco), που δεν σώζεται σήμερα, επικάλυπτε τους φαμμιτικούς δομικούς λίθους.

Η τεχνολογία κατασκευής της Στοάς είναι όμοια με την γενικώς εφαρμοζόμενη τεχνολογία κατά την κλασική περίοδο στην Ελλάδα.

Αναστήλωση της Στοάς της Βραυρώνος¹⁰

Οι αναστηλωτικές εργασίες έγιναν από τον αρχιτέκτονα της Υπηρεσίας Αναστηλώσεως Χαρ. Μπούρα, με επιστασία του γλύπτη του Εθνικού Αρχαιολογικού Μουσείου Στ. Τριάντη, από την 1η Μαΐου 1961 μέχρι τα τέλη του Σεπτεμβρίου του 1962.

Κατά τη διάρκεια των εργασιών κατεβλήθη προσπάθεια να τηρηθούν οι εξής αρχές: ελαχιστοποίηση προσθηκών και επεμβάσεων στα αρχαία μέλη, αντιστρεψιμότητα, δυνατότητα διάκρισης των νέων προστιθέμενων τεμαχίων, σεβασμός της αισθητικής του μνημείου, εξαιφάλληση της στατικής αυτάρκειας του κτηρίου, ισορροπία της σύνθεσης της μορφής του ερειπίου, συνέπεια με τα πορίσματα της μορφολογικής μελέτης.

Κατά την αναστήλωση έγιναν οι ακόλουθες εργασίες:

επιφάνεια έδρασης του μνημείου τριπλασιάζεται με την κατασκευή βάσης από άσπρο όβελο. Αναστηλώθηκαν 37 σφόνδυλοι (οι αρχαίοι). Τα έξι μαρμάρινα κιονόκρανα που πήρανταν τοποθετήθηκαν στις αρχικές τους θέσεις, από τα είκοσι θραύσματα που διασωθήσαν συναρμολογήθηκε ένα νέο και συμπληρώθηκαν δύο νέα. Η σύνδεση των θραύσμάτων έγινε με ανοξείδωτους αρειχάλκινους συνδέσμους. Προστέθηκε επίσης ένα νέο κιονόκρανο. Εκτός του μοναδικού διασωθέντος επιστυλίου κατασκευάσθηκαν και χρησιμοποιήθηκαν έξι νέα επιστύλια, ενισχυμένα με ράβδους ανοξείδωτου χάλυβα. Τέλος, τοποθετήθηκαν στις αρχικές τους θέσεις τα αναθηματικά βάθρα.

Οι συμπληρώσεις στο μνημείο έγιναν με χρήση του ίδιου εντόπιου ψαμμίτη και λευκού πεντελικού μαρμάρου.

Μεταξύ των αρχαίων και των νέων τεμαχίων ήταν όπου υπήρχε κενό τοποθετήθηκε τοιμεντοκονίαμα μικρής περιεκτικότητας σε τοιμέντο.

Λόγω της εσπευσμένης αναστήλωσης δεν τηρήθηκε η αρχή ότι η αναστήλωση έπειται της ανασκαφής και της έκδοσης της αρχαιολογικής μελέτης του μνημείου. Η πραγματοποίηση όμως των εργασιών, με βάση την αρχή της αντιστρεψιμότητας, δίνει τη δυνατότητα επανόρθωσης πιθανών σφαλμάτων¹¹.

Περιβαλλοντικές συνθήκες που επικρατούν στην ευρύτερη περιοχή της Βραυρώνος

Για την αναγνώριση των μηχανισμών φθοράς των υλικών του μνημείου κρίναμε απαραίτητη τη μελέτη των περιβαλλοντικών συνθηκών της περιοχής.

Από τις μετρήσεις της E.M.Y. (τμήμα στατιστικής κλιματολογίας), που αναφέρονται στο σταθμό των Σπάτων κατά τα έτη 1974-1997, προέκυψε ότι:

Οι τιμές της θερμοκρασίας κυμαίνονται μεταξύ 10-30°C στη διάρκεια του έτους. Μεμονωμένες τιμές μεγαλύτερες των 30°C και μικρότερες των 0°C έχουν καταγραφεί.

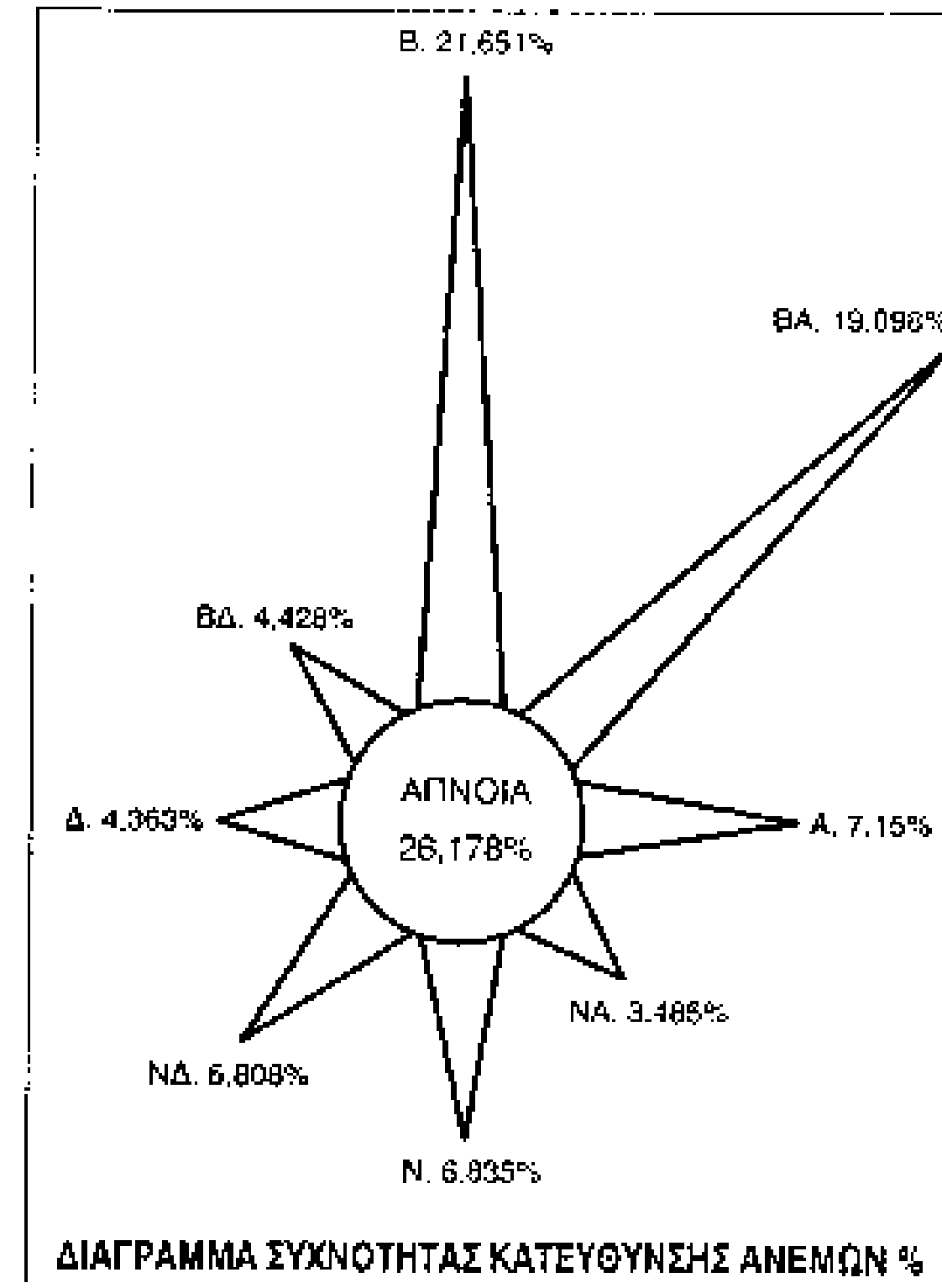
Η ένταση των ανέμων σπανιώς παίρνει τιμές μεγαλύτερες από 5 beaufort, ενώ οι επικρατέστερες εντάσεις των ανέμων είναι 0,2 και 3 beaufort για το σταθμό των Σπάτων (διάγραμμα 2).

Το ανάγλυφο της περιοχής της Βραυρώνος και η γειτνίαση με τη θάλασσα έχει ως αποτέλεσμα τη δημιουργία τοπικών συστημάτων ροής¹⁴. Θεωρούμε επομένως πιθανή την αύξηση της συχνότητας και της έντασης των ανέμων, ειδικά αυτών με Β.-ΒΑ. κατεύθυνση (βλ. Διάγραμμα Συχνότητας Κατεύθυνσης Ανέμων %).

Οι βροχοπτώσεις κυμαίνονται σε ποσοστά ανάλογα με αυτά της υπόλοιπης Αττικής.

Οι τιμές της σχετικής υγρασίας είναι μεγαλύτερες από τις αναφερόμενες στο ραβδόγραμμα 1, που αναφέρονται στο σταθμό των Σπάτων, καθώς το μνημείο βρίσκεται πλησιέστερα στη θάλασσα απ' ό,τι ο εν λόγω σταθμός.

Κατά τους χειμερινούς μήνες ο αρχαιολογικός χώρος πλημμυρίζει συχνά, λόγω της διαμόρφωσης του εδάφους που ευνοεί την κατακράτηση των ομβρίων υδάτων αφενός, και αφε-



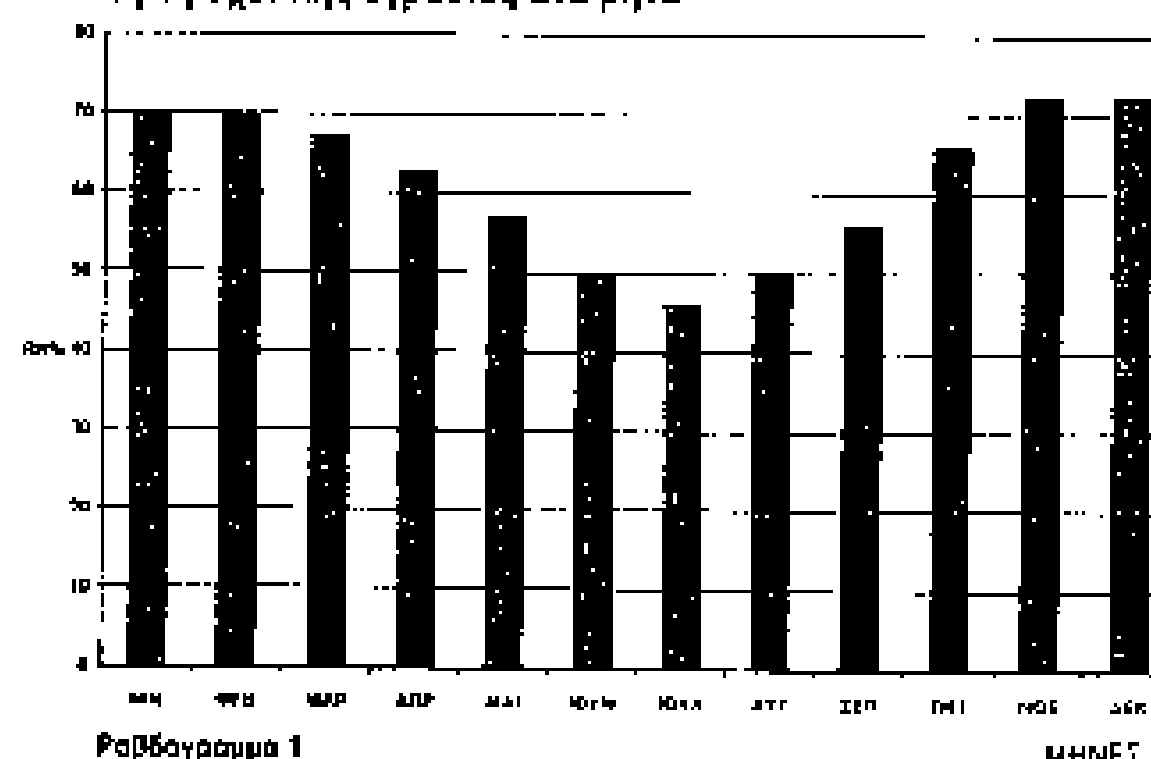
τέρου λόγω των πετρωμάτων του υπεδάφους που επιτρέπουν την εισχώρηση θαλάσσιου ύδατος στο έδαφος και στα νερά του Ερασίνου¹².

Σύμφωνα με τη βιβλιογραφία¹³, το έδαφος θεμελίωσης της ευρύτερης περιοχής έχει μεγάλο πάχος 10 μ. και συντίθεται από λεπτομερή μέλη άμμου και αργιλών, και σε μικρότερα ποσοστά από λεπτούς μανδύες, από αποσάθρωση κροκαλών. Το στρώμα αυτό στην περιοχή του μνημείου εμφανίζει πιθανώς μεγαλύτερο πάχος και περιέχει μεγαλύτερες ποσοστητές αργιλών, λόγω της συσσώρευσης εκεί της Ιλύος του ποταμού Ερασίνου.

Υδρογεωλογική μελέτη

Για τον υπολογισμό της συγκέντρωσης των αλάτων στα υπόγεια ύδατα, έγινε ανάλυση σε τρία δείγματα ύδατος: α. από την ιερά πηγή που βρίσκεται σε απόσταση περίπου 30 μ. από τη δυτική γωνία της Στοάς; β. από τα λιμνάζοντα ύδατα κάτω από τη γέφυρα σε απόσταση 10 περίπου μέτρων από τη δυτική γωνία της Στοάς; γ. από φρέαρ που βρίσκεται σε απόσταση 40 περίπου μέτρων νοτιοδυτικά της Στοάς.

Τιμές σχετικής υγρασίας ανά μήνα



	pH	Αγ/τα (μS)	Ca^{2+} ppm	Mg^{2+} ppm	Na^+ ppm	K^+ ppm	HCO_3^- ppm	Cl^- ppm	SO_4^{2-} ppm	NO_3^- ppm
ΠΗΓΗ	7,30	2650	183	101	244	31,3	420	581	208	80,6
ΦΡΕΑΡ	7,50	7800	539	358	897	46,9	456	2212	1254	37,2
ΓΕΦΥΡΑ	7,60	2850	186	109	303	31,3	415	681	280	27,9

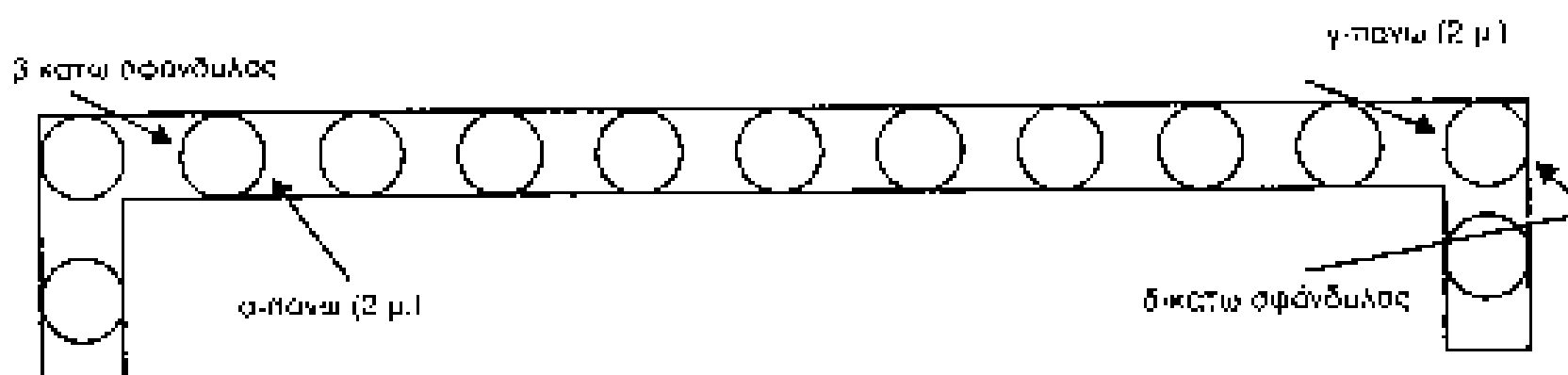
Πίνακας 1: Τιμές pH, αγωγιμότητας και συγκέντρωσης ιόντων

Τα αποτελέσματα των αναλύσεων παρατίθενται στον πίνακα 1 (οι αναλύσεις έγιναν στο Ι.Γ.Μ.Ε., στη Διεύθυνση Υδρογεωλογίας Νοτίου Ελλάδος).

Από τον πίνακα φαίνεται ότι η συγκέντρωση των διαλυτών αλάτων στα υπόγεια ύδατα είναι ιδιαίτερα αυξημένη και το pH ελαφρώς βασικό.

Μετρήσεις για την ανίχνευση διαλυτών αλάτων στην επιφάνεια του Φαμμίτη

Για την αναγνώριση των αιτιών των φθορών του μνημείου, έγινε ανίχνευση διαλυτών αλάτων στην επιφάνεια δύο κιόνων. Τα σημεία της δειγματοληψίας φαίνονται στο επόμενο σχήμα:



Κάτωφη της κινοστοιχίας με τις θέσεις στις οποίες έγινε ανίχνευση διαλυτών αλάτων.

Στα τέσσερα δείγματα έγιναν αναλύσεις κατά τις οποίες μετρήθηκε η αγωγιμότητα του διαλύματος, το pH και η περιεκτικότητά του σε ιόντα Cl^- και SO_4^{2-} . Τα αποτελέσματα δίνονται στον πίνακα 2:

Πίνακας 2: Τιμές αγωγιμότητας, pH και συγκέντρωσης Cl^- , SO_4^{2-}

Δείγμα	Αγωγή (μS)	pH	Cl^- (ppm)	SO_4^{2-} (ppm)
α	415	6,5	17,75	2,06
β	362	6,3	15,45	1,78
γ	390	6,5	16,71	1,87
δ	440	7,2	19,00	2,15

Τα δείγματα από τις ανατολικές πλευρές των κιόνων περιέχουν μεγαλύτερες ποσότητες αλάτων, προφανώς επειδή προσανατολίζονται προς τη θάλασσα. Στον ανατολικό κίονα το δείγμα του καπωτέρου σφραγίδου παρουσιάζει μεγαλύτερη συγκέντρωση σε άλατα από το δείγμα που βρισκόταν σε μεγαλύτερη απόσταση από το έδαφος. Αυτό οφείλεται στη διάχυση ιόντων από το έδαφος λόγω του φαινομένου της τριχοειδούς αναρρίχησης.

Στον δυτικό κίονα παρατηρείται μεγαλύτερη συγκέντρωση αλάτων στον άνω σφραγίδυλο απ' ό,τι στον κατώτατο. Αυτό προφανώς οφείλεται στο ότι η κομπρέσσα στον άνω σφραγίδυλο ήταν τοποθετημένη στην ανατολική πλευρά, δη-

λαδή προς τη θάλασσα. Ακόμη, η συγκέντρωση των αλάτων στο σημείο α επηρεάζεται από την ύπαρξη τοιμεντοκονιάματος σε κοντινή απόσταση, καθώς το τοιμέντο αποτελεί σημαντική πηγή διαλυτών αλάτων.

Η διάβρωση του δομικού υλικού της Στοάς

Η βασικότερη φθορά που παρατηρείται μακροσκοπικά στο υλικό του μνημείου είναι οι κοιλότητες στην επιφάνεια του Φαμμιτικού υλικού, οι οποίες φανερώνουν διάβρωση με κυψέλωση (εικ. 3). Οι κοιλότητες ποικίλλουν σε μέγεθος και καλύπτουν όλη την επιφάνεια του Φαμμιτικού υλικού. Αυτή η μορφή διάβρωσης αφεύλεται στην παρουσία ευδιαλύτων αλάτων στο μνημείο, σε συνδυασμό με την υγρασία και τους ανέμους που πνέουν στην περιοχή.

Πηγές αλάτων για τη Στοά αποτελούν:

α. τα υπόγεια ύδατα, όπως προκύπτει από τις σχετικές αναλύσεις υδάτων

β. η θάλασσα, η οποία βρίσκεται 700 μ. ανατολικά του αρχαιολογικού χώρου

γ. τα τοιμεντοκονιάματα που είχαν χρησιμοποιηθεί στην αναστήλωση του μνημείου.

Η μεταφορά των αλάτων από τα υπόγεια ύδατα γίνεται με το φαινόμενο της τριχοειδούς αναρρίχησης (εικ. 4) και από τη θάλασσα με το φαινόμενο της αλατονέφωσης, λόγω της Β.-ΒΑ. κατεύθυνσης των ανέμων.

Εκτός από την κυψέλωση, παρατηρείται απομάκρυνση, σε επιφανειακό επίπεδο, των αργιλοπυριτικών φλεβών του πέτρινου υλικού (εικ. 5 και 6). Η απώλεια προκαλείται λόγω της ιονεγαλλακτικής εξαλλοίωσης των αργιών που περιέχονται ως προσμίξεις στην πέτρα, λόγω της δράσης του νερού (στα βάθρα των αναθημάτων φαίνεται χαρακτηριστικά το μεναλύτερο ποσοστό απώλειας υλικού, έως το σημείο που φτάνει η στάθμη του νερού στις πλημμύρες).

Ρωγμές μεταξύ των συγκολλημένων τμήματων του Φαμμίτη έχουν προκληθεί εξαιτίας της διαφοράς του συντελεστή θερμικής διαστάλης του Φαμμίτη από το τοιμεντοκονιάμα, που έχει χρησιμοποιηθεί για τη συγκόλληση (εικ. 7).

Τα ποικίλα φυτά που αναπτύσσονται στο χώρο του μνημείου δημιουργούν ρωγμές σε τμήματα της Στοάς, κυρίως στον μαρμάρινο στυλοβάτη, ή διευρύνουν ρωγμές που ήδη υπήρχαν (εικ. 4).

Παρατηρείται διάβρωση των μεταλλικών συνδέσμων που είχαν χρησιμοποιηθεί κατά την αναστήλωση, με αποτέλεσμα κάποια θραύσματα να έχουν αποκολληθεί. Τη διάβρωση του ορείχαλκου και του ανοξείδωτου χάλυβα ευνοεί η αυξημένη σχετική υγρασία, καθώς και η μεγά-

βιολογικών επικαθίσεων από συμβιώσεις μικρο-οργανισμών, το οποίο συνιστάται από μεγάλες ομοιόμορφες επιφάνειες και "λεκέδες" κυκλικού σχήματος. Η ανάπτυξη των μικροοργανισμών ευνοείται από την υψηλή σχετικά υγρασία και από τις θερμοκρασίες που επικρατούν στην περιοχή.

Ορατή είναι η καθίζηση που έχει υποστεί η Στοά ήδη από την αρχαιότητα. Πιθανή αιτία των καθίζσεων είναι η αμμώδης σύσταση του υπέδαφους της περιοχής και η παρουσία μεγάλου ποσοστού αργιλών, που διογκώνονται όταν απορροφούν νερό, τους χειμερινούς μήνες, ενώ το καλοκαίρι, όταν στεγνώνουν, μετατρέπονται σε λεπτή σκόνη (φαινόμενο της θιξοτροπίας). Οι εναλλαγές αυτές προκαλούν αυξομειώσεις του όγκου των αργιλών, με αποτέλεσμα την αποσύρωση του εδάφους θεμελίωσης.

Προτεινόμενες επεμβάσεις συντήρησης

Η κατάσταση διατήρησης του μνημείου καθιστά επιτακτική την ανάγκη συντήρησής του. Προτείνεται ένα γενικό πλαίσιο εργασιών συντήρησης, καθώς δεν έχουν προηγηθεί οι απαραίτητες αναλύσεις που θα μπορούσαν να δώσουν πιο συγκεκριμένες προτάσεις.

Για τη συντήρηση του μνημείου είναι χρήσιμο να γίνει πρωτίστως ποιοτική και ποσοτική ανάλυση του υλικού, ώστε να επιλεγούν οι κατάλληλες μέθοδοι συντήρησης. Οι αναλύσεις που μπορεί να γίνουν είναι: εξέταση στο πολωτικό μικροσκόπιο, εξέταση με τη μέθοδο περιθλαστικής ακτίνων X (XRD), παρατήρηση με το γλεκτρονικό μικροσκόπιο σάρωσης (SEM), μελέτη του φθαρισμού των ορυκτών μετά από ακτινοβοληση με ακτίνες X, φλογοφωτομετρία ή ανάλυση με τη μέθοδο της ατομικής απορρόφησης.

Για τη μελέτη της εσωτερικής δομής των

λ. συγκέντρωση θειικών ιόντων και χλωριόντων στο περιβάλλον.

Τα προϊόντα διάβρωσης του ορείχαλκου έχουν αλλοιώσει χρωματικά την επιφάνεια του μαρμάρου, δημιουργώντας κατά τόπους κηλίδες πρασίνου-μπλε χρώματος.

Βιολογική διάβρωση παρατηρείται κυρίως στα ασβεστολιθικά βάθρα των αναθημάτων, στα μαρμάρινα κιονόκρανα και λιγότερο στο ψαμμίτικό υλικό. Στα τμήματα αυτά υπάρχει στρώμα

4. Ανύψωση των υδάτων του εδάφους γένος του φανονένου της τριχοειδούς συνορριχησης και ανάπτυξη φυτών στις ρωγμές του μαρμάρινου σπιλοβάτη.

υλικών και τον εντοπισμό πιθανών ασυνεχειών, ρωγμών και ξένων στοιχείων προτείνονται οι εξής μέθοδοι ανάλυσης: εξέταση με υπερήχους, ακτινογράφηση, υπέρυθρη θερμογραφία, ενδοσκόπηση.

Προτείνεται επίσης η μέτρηση του πορώδους της πέτρας και η ταυτοποίηση των βιολογικών επικαθίσεων.

Η στεγανοποίηση του εδάφους και η επίλυση των στατικών προβλημάτων του μνημείου προέχει και απαιτεί συνεργασία ειδικών επιστημόνων ώστε να γίνει αρχικά υδρολογική, γεωτεχνική, εδαφομηχανική μελέτη της περιοχής και στατική μελέτη του μνημείου και ακολούθως να πραγματοποιηθεί η απαπούμενη κατασκευαστική επέμβαση στο έδαφος. Οι επεμβάσεις αυτές μπορούν να συνδυαστούν και με τη συνέχιση των ανασκαφικών εργασιών στο χώρο.

Η στεγανοποίηση του εδάφους δεν θα πρέπει να αλλοιώσει το φυσικό τοπίο με το οποίο το μνημείο είναι άρρηκτα δεμένο.

Προσωρινή λύση για τη μείωση των υδάτων μπορεί να αποτελέσει η ενίσχυση της ήδη υπάρχουσας αντλίας, ο σχολαστικός καθαρισμός του σημείου αντλησης των υδάτων και η διάνοιξη δευτέρου φρεατίου συλλογής υδάτων σε άλλο σημείο του αρχαιολογικού χώρου.

Καθαρισμοί

Κύριοι στόχοι των μεθόδων καθαρισμού της Στοάς είναι η απομάκρυνση των διαλυτών αλάτων, των βιολογικών επικαθίσεων, των τσιμεντοκονιάματων και των μεταλλικών συνδεσμών που χρησιμοποιήθηκαν κατά την αναστήλωση και, τέλος, ο καθαρισμός των λεκέδων που δημιουργήθηκαν από την οξείδωση των συνδέσμων.

Οι μέθοδοι καθαρισμού πρέπει:

- Να μην σχηματίζουν προϊόντα καταστρεπτικά για την πέτρα.
- Να αφήνουν την επιφάνεια ανεπηρέαστη.
- Να έχουν ελεγχόμενη εφαρμογή.

Τα τσιμεντοκονιάματα αφαιρούνται με μηχανικό καθαρισμό, με τη βοήθεια εργαλείων γλυπτικής (σφυρί, καλέμι). Τυχόν υπολείμματα μπορούν να αφαιρεθούν με χρήση πάστας Mora, η οποία συμπλοκοποιεί ιόντα των συστατικών του κονιάματος, σε συνδυασμό με μηχανικές μεθόδους¹⁵.

Για τον καθαρισμό των λεκέδων από τα προϊόντα οξείδωσης των ορειχάλκινων συνδεσμών μπορεί να χρησιμοποιηθεί πάστα που περιέχει αμμωνία¹⁶. Το ίδιο αντιδραστήριο, σε συνεργασία με μηχανικές μεθόδους, μπορεί να χρησιμοποιηθεί για την αφαίρεση των ορειχάλκινων συνδεσμών. Κατά ανάλογο τρόπο μπορούν να αφαιρεθούν οι χαλύβδινοι σύνδεσμοι, με αραιό διάλυμα θειογλυκολικού οξέως (HSCH_2COOH)¹⁷.

Ο καθαρισμός των βιολογικών επικαθίσεων μπορεί να γίνει με αραιό διάλυμα υπεροξειδίου του υδρογόνου (H_2O_2) που έχει οξειδωτικές ικανότητες και διαλύει την οργανική ύλη¹⁸. Μπορούν επίσης να χρησιμοποιηθούν κατάλληλα βιοκτόνα που θανατώνουν τους μικροσργανισμούς, με αποτέλεσμα να χαλαρώνουν οι επικαθίσεις και να αφαιρούνται εύκολα με απιονισμέ-



νό νερό και ήπιο βούρτσισμα της επιφάνειας.

Για την αφαίρεση των μεγαλυτέρων φυτών προτείνεται η εκρίζωσή τους με κατάλληλο ζιζανιοκτόνο. Το ζιζανιακότόνο πρέπει να μην προκαλεί διάβρωση ή χρωματική αλλοίωση στην πέτρα, αλλά και να έχει όσο το δυνατόν μικρότερη τοξικότητα.

Για την απομάκρυνση των διαλυτών αλάτων από τους πάρους της πέτρας μπορεί να χρησιμοποιηθεί απιονισμένο νερό, αφού η επιφάνεια της πέτρας δεν είναι γυψοποιημένη. Το απιονισμένο νερό διαλύει τα άλατα και τα παρασύρει, λόγω του φαινόμενου της όσμωσης, εξω από το πετρινό υλικό. Για τον ακοπό αυτό μπορούν να γίνουν διαδοχικές εφαρμογές ισομεγέθων κομπρεσών ουδέτερου χαρτιού με απιονισμένο νερό στην επιφάνεια του φαμίτη και του ασβεστόλιθου¹⁹. Κάθε φορά μετριέται η αγωγιμότητα του νερού έκπλυσης, που παράγεται από το ξέπλυμα κάθε κομπρεσάς, και, όταν η αγωγιμότητα σταθεροποιηθεί σε χαμηλές τιμές, η επέμβαση σταματάει.

Οι κομπρέσες μπορεί να αντικατασταθούν με προσροφητική άργιλο (απταπουλγίτη, σεπιόλιθο). Ο απταπουλγίτης ενδείκνυται για τον φαμίτη, καθώς αποτελείται από χαλαζία σε ποσοστό 68% περίπου²⁰.

Οι μέθοδοι αυτές απομακρύνουν τα άλατα από μικρό βάθος του εσωτερικού της πέτρας. Για την απομάκρυνση αλάτων από τον όγκο των σπονδύλων προτείνεται μια μέθοδος που εφαρμόζεται σε μικρά αγάλματα συνήθως, κατά την οποία εφαρμόζεται στον σφόνδυλο ένα σφιχτό ελαστικό ένδυμα με μία απή στο πάνω μέρος και μία κάτω. Με ροή νερού υπό πίεση από πάνω προς τα κάτω ή με εφαρμογή κενού και παροχή νερού από πάνω, παρασύρονται τα διαλυτά άλατα και κινούνται προς την έξοδο. Με τη μέ-



6. Απωλεισ αλικού από τα βάθρα των αναθημάτων.

τροπή της αγωγιμότητας του νερού που βγαίνει παρακολουθείται η πορεία της μεθόδου. Πριν από μια τέτοια εφαρμογή πρέπει να γίνονται μετρήσεις της αντοχής της πέτρας, καθώς υπάρχει κίνδυνος απώλειας υλικού εξαιτίας της πιεστής από την εφαρμογή του ελαστικού ενδύματος και της πίεσης του νερού.

Στερέωση των δομικών υλικών²¹

Η αποσάθρωση των δομικών λίθων έχει ως αρχτέλεσμα τη μείωση των μηχανικών αντοχών καθώς της συνοχής τους. Έτσι ώστε να κρίνεται απαραίτητη η στερέωσή τους. Το στερεωτικό υλικό πρέπει να είναι αντιστρέψιμο και να έχει παρόμοια σύσταση με αυτήν του πετρώματος.

Λόγω της μεγάλης περιεκτικότητας του ψαμμίτη σε χαλαζία (SiO_2), προτείνεται να χρησιμοποιηθεί υλικό με βάση το πυρίτιο²². Συνήθως χρησιμοποιούνται πυριτικά άλατα, τα οποία υδρολύονται και σχηματίζουν ορθοπυριτικό οξύ (H_4SiO_4). Το οξύ καθιζάνει στους πόρους της πέτρας και χάνοντας βαθμιαία νερό σχηματίζει το επιθυμητό διοξείδιο του πυριτίου²³. Ένα οργανικό υλικό με βάση το πυρίτιο, μη πολυμερές και με μεγάλη διεισδυτική ικανότητα, που χρησιμοποιείται κυρίως σε ψαμμίτες, είναι ο αιθυλοπυριτικός εστέρας. Κατά την εφαρμογή πρέπει να απομακρύνεται η περίσσεια του στερεωτικού από την επιφάνεια της πέτρας, ώστε να μην δημιουργούνται λεκέδες. Σε μελετες που έγιναν διαπιστώθηκε ότι ο χρόνος ζωής του στερεωτικού είναι περίπου δέκα χρόνια, διάστημα μετά το οποίο η μέθοδος μπορεί να επανεφαρμοστεί²⁴. Οι ιδανικότερες συνθήκες εφαρμογής του στερεωτικού είναι RH 47-55% και θερμοκρασία 22-30°C. Ανάλογες συνθήκες επικρατούν στη Βραυρώνα τον

μήνα Ιαύνιο, όπως προκύπτει και από τους σχετικούς πίνακες.

Για τη στερέωση των ασβεστολιθικών τμημάτων προτείνονται ανόργανα υλικά που επιδρούν στο ανθρακικό ασβέστιο της πέτρας²⁵. Καλά αποτελέσματα δίνει το υδροξείδιο του ασβεστίου, το οποίο κατά την εφαρμογή του παράγει ανθρακικό ασβέστιο αντιδρώντας με το CO_2 της ατμόσφαιρας. Το παραγόμενο ανθρακικό ασβέστιο καθιζάνει στην επιφάνεια και τους πόρους της πέτρας, αυξάνοντας έτσι την αντοχή της. Το υδροξείδιο του ασβεστίου χρησιμοποιείται με τη μορφή ασβεστόνερου ή γάλακτος του μετά από ανατάραβη.

Υδροφοβίωση²⁶

Για την προστασία από το νερό και την υγρασία πρέπει να γίνει υδροφοβίωση. Το υλικό που θα χρησιμοποιηθεί πρέπει να είναι συμβατό με το υλικό της στερέωσης και με την πέτρα, να μην αντιδρά με αυτά και να μην δημιουργεί άλλαίωση στην υφή και την εμφάνιση της πέτρας. Μία κατηγορία υλικών που χρησιμοποιούνται για υδροφοβίωση και έχουν βάση το πυρίτιο είναι τα αλκυλο-αλκοξυ-σιλάνια. Οι ιδανικές συνθήκες για την εφαρμογή τους είναι ανάλογες με αυτές του αιθυλοπυριτικού εστέρα. Προτείνεται να εφαρμοστεί πρώτα ο εστέρας στερεοποιώντας την πέτρα και στη συνέχεια το σιλάνιο, το οποίο θα δράσει περισσότερο επιφανειακά, προσδιδόντας υδρόφοβες ιδιότητες στο πέτρινο υλικό. Το σιλάνιο που θα χρησιμοποιηθεί πρέπει να έχει μικρό μοριακό βάρος για να μην κλείνει τελειώς τους πόρους της πέτρας, ώστε να επιτρέπει τη διαφυγή της εγκλωβισμένης υγρασίας, αλλά και να αποτρέπει τη διαρροή του νερού από και προς το εσωτερικό της πέτρας.

Συγκόλλησεις-πλήρωση κενών και ρωγμών

Για τη συγκόλληση πέτρινων τμημάτων χρησιμοποιούνται σήμερα διάφορα συγκόλλητικά υλικά ή κονιάματα. Τα κονιάματα είναι πιο σταθερά από τις συνθετικές ρητίνες σε συνθήκες εξωτερικού περιβάλλοντος και, για τον λόγο αυτό, προτιμώνται τόσο σε συγκόλλησεις όσο και σε πληρώσεις ρωγμών και κενών.

Το λευκό τσιμέντο Portland έχει χαμηλή περιεκτικότητα σε θεικά άλατα, διαθέτει καλές μηχανικές αντοχές, καλή σύμφυση με την επιφάνεια της πέτρας, κατάλληλο θερμικό συντελεστή, πορώδες και κακκομετρία, και προτείνεται να χρησιμοποιηθεί για τις συγκόλλησεις τόσο στο μάρμαρο όσο και στον φαρμίτη.

Η συγκόλληση ενισχύεται με την τοποθέτηση μεταλλικών συνδέσμων από τιτάνιο, όπου διαπιστώθει ότι τα θραύσματα λόγω του μεγέθους ή της θέσης τους δεν μπορούν να κρατηθούν μόνο με τσιμέντο. Η συγκόλληση με χρήση μεταλλικών συνδέσμων είναι μια επώδυνη και καταστρεπτική μέθοδος για το μνημείο, καθώς πρέπει να ανοιχτούν οπές σε αυτό, γι' αυτό και πρέπει να εφαρμόζεται μόνο όπου κρίνεται απολύτως απαραίτητο.

Η μέθοδος στερεώσασης που έχει προταθεί για το μνημείο μπορεί να κλείσει λεπτές ρωγμές μεγέθους 0,1-0,2 χιλ. Μεγαλύτερες ρωγμές και κενά πρέπει να κλείσουν επίσης γιατί αποτελούν εστίες συγκέντρωσης διαλυτών αλάτων και μικροοργανισμών. Η πλήρωση προτείνεται να γίνεται με κονίαμα. Το κονίαμα έχει ως συγκόλλητική ύλη το λευκό τσιμέντο Portland και η σύσταση του αδρανούς πρέπει να είναι παρόμοια με αυτήν του πέτρινου υλικού. Για τον φαρμίτη προτείνεται να χρησιμοποιηθεί χαλαζιακή άμμος μικρής κακκομετρίας και για το μάρμαρο και τον ασβεστόλιθο πεπάλη του ίδιου υλικού.

Κομμάτια που λείπουν πρέπει να συμπληρωθούν μόνο όπου επιβάλλεται για στατικούς λόγους με το διο υλικό (φαρμίτη, μάρμαρο), όπως έγινε και κατά την αναστήλωση.

Επίδραση του αεροδρομίου των Σπάτων στο μνημείο

Η εγκατάσταση του αεροδρομίου στην περιοχή των Σπάτων, σε απόσταση 7 χλμ. από το ιερό, θα προκαλέσει μεταβολή των περιβαλλοντικών συνθηκών της ευρύτερης περιοχής, με βασικότερη την αύξηση της ατμοσφαιρικής ρύπανσης και της ηχορρύπανσης. Σύμφωνα με τη Μελέτη Περιβαλλοντικών Επιπτώσεων²⁷ θα αυξηθεί το ποσοστό των αιωρούμενων σωματίδιων, του διοξειδίου του θείου SO₂, των οξειδίων του αζώτου NO_x και του μονοξειδίου του άνθρακα CO στην ατμόσφαιρα.

Είναι σχεδόν βέβαιο ότι λόγω της μικρής απόστασης του αεροδρομίου από το ιερό της Βραυρωνίας Αρτέμιδος θα σημειωθεί μεταφορά των αερίων ρύπων από το αεροδρόμιο στην περιοχή της Βραυρώνος. Οι ρύποι αυτοί μπορεί να προκαλέσουν νέες φθορές, όπως γυψοποίηση και ζαχαροποίηση του μαρμάρου κ.ά.

Αρνητική επίδραση στην κατάσταση διατήρησης του μνημείου έχει και ο θόρυβος, μέσω

των κραδασμών που δημιουργεί. Ανάλογα με τις συχνότητες των ήχων που επικρατούν στην περιοχή μπορεί να προκληθούν ρηγματώσεις και θραύσεις στο υλικό του μνημείου.

Επομένως, η λειτουργία του αεροδρομίου στην περιοχή κάνει επιτακτική την ανάγκη συντήρησης του μνημείου, πριν επεκταθούν οι φθορές του και εμφανιστούν και νέες μορφές διάβρωσης.

Καθιστά επίσης απαραίτητη την περαιτέρω μελέτη και την καταγραφή των επιπτώσεων της λειτουργίας του αεροδρομίου στην περιοχή του μνημείου και στο δομικό του υλικού.

Σημειώσεις

1. Θεμελής, Π. Γ., Βραυρών. Οδηγός του χώρου και του Μουσείου. σ. 9. Παπαδημητρίου, Κ. I., ΠΑΕ 1947-1948, σ. 81. Ευστρατίου. Αρχαιολογικό, τεύχος 39, 1991, σ. 74.
2. Θεμελής, Π. Γ., Παπαδημητρίου, Κ. I., Μεγάλη Ελληνική Εγκυλόπαιδεια, Ι. Βραυρών, συμπλ. τομ. Β., σ. 146.
3. Κοντής, Ι., Αδ. 22, 1967, σ. 162.
4. Παπαχατζής, Ραυσανού Ελλαδος Λειτηγμοις, Απτικα. Εκδοτική Αθηνών, 1974 σ. 429.
5. Νικοτριώπης, Γ., Θεουκυδίδου Ξυλγραφή II, 1902-1907, σσ. 43-45.
6. Ορλανδός, Α., Έργον 1958, σ. 37. Μπούρας, Χ., Η ανθρωπιάφις της Σειράς της Βραυρώνος, 1967, σσ. 149-159. Κοντής, Ι., σ. II, 3, σ. 175.
7. Θεμελής, Π. Γ., σ. π. 1, σσ. 19-20 Κοντής, Ι., σ. π. 8 σσ. 171-174.
8. Μπούρας, Χ., σ. π. 3, σσ. 19-24.
9. Λαμπρόπουλος, Ν. Β., Διαθρωση και αντηγρηση της πετρας, 1993, σ. 9.
10. Μπούρας, Χ., σ. π. 6, σ. 40.
11. Μπούρας, Χ., σ. π. 6, σ. 172.
12. Δεύνα, Α. και Μαστόρη, Κ., Εκθεση επι των οδογεωμονικων ουινθρων της πεισιοχης Σπατων-Ιερουσαλημ Απτικης, ΙΓΜΕ 1967, σ. 3 Κεντης, Δ. Γ., Εκθεση επι των οδορουεωλογικων συνθρων «ει δυνατητων υδρευσεων του λεων οεσολιμενα Αθηνων στο Σλατο, ΙΓΜΕ 1979, σ. 5.
13. Κούμης, Δ. Γ., Εκθεση επι της συμπλεκφορας των υδροφορεως και της περιοχης επιρροης των φερετος Δορεια-Μηλακη εις Μαρκοπουλον Απτικης, ΙΓΜΕ '977, σ. 2.
14. Χελιδής, Κ., Κυλλαφοσις των θεων μαζων και ρυτων, 1993, σε 1-8.
15. Λαμπρόπουλος, Ν. Β., σ. π., σ. 60-61. Ashurst, N., Cleaning Historic Buildings, Aiden Press, 1994.
16. Λαμπρόπουλος, Ν. Β., σ. π. σ. 66.
17. Λαμπρόπουλος, Ν. Β., σ. 65.
18. Λαμπρόπουλος, Ν. Β., σ. 68.
19. Λαμπρόπουλος, Ν. Β., σ. 69.
20. Amoroso, G. και Fassina, V., Stone decay and conservation, ed. Elzevier 1983, σσ. 282-286.
21. Λαμπρόπουλος, Ν. Β., σ. 70-80.
22. Σκουλικίδης, Θ. Ν., Διαθρωση και Συντήρηση των δομων Υλικων των Μητρωων. Πανεπιστημιουκες Εκδόσεις Κεντης, 2000, σ. 212.
23. Λαμπρόπουλος, Ν. Β., σ. 78-79.
24. Saleh, A. S., Helmi, M. F., Kamal, M. M., El-Banna, A., Studies in Conservation, v. 37, 1992, σ. 93-105.
25. Σκουλικίδης, Θ. Ν., σσ. 212-215.
26. Λαμπρόπουλος, Ν. Β., σ. 79-80.
27. Παρασκευόπουλος Γ., Κώνστας Α., Μελέτη περιβαλλοντικων επιπτώσεων από σημ κατασκευή και λειτουργία του αεροδρομίου των Σπάτων, 1993.

The Stoa of Artemis in Vravrona, Attica: Erosion Types and Protection Proposals

V. Lambropoulos – Maria Katou – A. Sapountzakis

The sanctuary of Artemis in Vravrona, on the eastern coast of Attica, is counted among the most important religious complexes of antiquity.

This study comprises a short presentation of the stoa of the sanctuary and its restoration. The deep landslide has seriously damaged all the buildings of the sanctuary. Therefore, the decay of the building materials has been recorded, according to macroscopic observations, and its basic agents have been estimated, on the basis of an environmental study. Given the aforementioned data, a proposal for the protection of the monument has been composed.